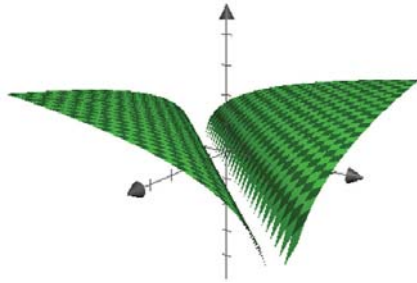


# Proseminar

## Hierarchische Matrizen

### Einführendes Beispiel



Mirko Bächtiger, 15. April 2004

### 0. Randlemtproblem

Verfahren, zur Lösung von Integralgleichungen zu lösen ist die DGL:

$$\begin{aligned} -\Delta\Phi &= f \\ \Phi &= g_D \end{aligned}$$

Die Funktion

$$N(x) = \int_{\Omega} G(x-y)f(y)dy$$

mit Kern  $G = \log|x-y|$  löst die DGL, erfüllt aber im Allgemeinen nicht die Randbedingungen.

Lösungen der DGL sind in der Form:  $\Phi = N + \Phi_o$  (inhomogen + homogen)  $\Phi_o$  erfüllt:

$$\begin{aligned} \Delta\Phi_o &= 0 && \text{, in } \Omega^+ \\ \Phi_o &= \mathcal{F} (= g_D - N|_{\Gamma}) && \text{, auf } \Gamma \quad (\mathcal{F} : \text{neue Randbedingungen}) \end{aligned}$$

Ansatz für  $x \in \Omega$ :

$$\Phi_o(x) = \int_{\Gamma} G(x-y)U(y)d\Gamma_y, \quad V(U) = \Phi_o(x)|_{\Gamma} = \mathcal{F}$$

Die Funktion  $U : \Gamma \rightarrow \mathbb{C}$ ,  $U \in C^0(\Gamma)$  ist unbestimmt.

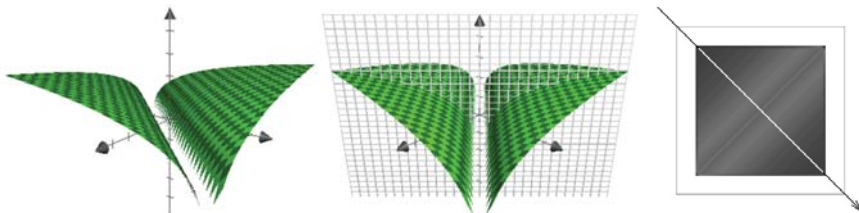
### 1. Modellproblem

Wir betrachten die Integralgleichung:

$$\int_0^1 \log|x-y|U(y)dy = \mathcal{F}(x) \quad , x \in [0,1] \quad (1)$$

Für ein  $\mathcal{F} : [0,1] \rightarrow \mathbb{R}$  und suchen die Lösung  $U : [0,1] \rightarrow \mathbb{R}$

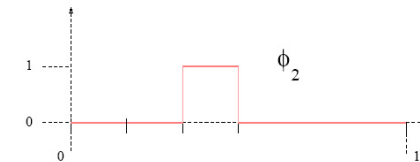
Der Kern  $g(x,y) = \log|x-y|$  hat in  $[0,1]^2$  eine Singularität in der Diagonalen ( $x=y$ ).



### Galerkin's Methode:

Lösen der Integralgleichung auf dem Raum  $V_n := \text{span}\{\varphi_0, \dots, \varphi_{n-1}\}$ , wobei die Basisfunktionen wie folgt definiert sind:

$$\varphi_i(x) = \begin{cases} 1 & : \frac{i}{n} \leq x \leq \frac{i+1}{n} \\ 0 & : \text{sonst} \end{cases}$$



$$\int_0^1 \int_0^1 \varphi_i(x) \log|x-y|U(y)dydx = \int_0^1 \varphi_i(x)\mathcal{F}(x)dx \quad 0 \leq i < n$$

Wir suchen diskrete Lösung  $U_n = \sum_{j=0}^{n-1} u_j\varphi_j$ , so dass  $u$  die Lösung des linearen Systems

$$Gu = f, \quad G_{ij} := \int_0^1 \int_0^1 \varphi_i(x) \log|x-y|\varphi_j(y)dydx, \quad f_i := \int_0^1 \varphi_i(x)\mathcal{F}(x)dx$$

ist.

## Grundidee:

Problem: Matrix  $G$  ist dicht besetzt

Ziel: durch Platz sparende Matrix  $\tilde{G}$  ersetzen

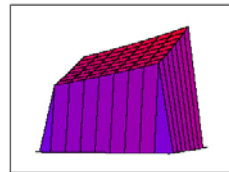
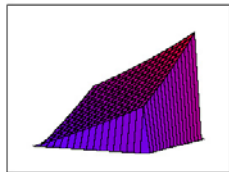
Idee: den Kern  $g(x, y) = \log|x - y|$  durch degenerierten Kern

$$\tilde{g}(x, y) = \sum_{\nu=0}^{k-1} g_{\nu}(x)h_{\nu}(y)$$

ersetzen (Grund: Integration bez.  $x$  ist separiert von jener bez.  $y$ ).

Der Kern  $g(x, y) = \log|x - y|$  kann nicht auf ganz  $[0, 1] \times [0, 1]$  durch degenerierten Kern  $\tilde{g}$  ersetzt werden (Singularität).

⇒ Approximation von  $g$  durch  $\tilde{g}$  dort, wo  $g$  glatt ist



## 2. Taylorentwicklung des Kerns

Sei  $\tau := [a, b]$ ,  $\sigma := [c, d]$ ,  $\tau \times \sigma \subset [0, 1] \times [0, 1]$  eine Unterteilung mit der Eigenschaft  $b < c$ , so dass  $\tau \cap \sigma = \emptyset$ . Kern auf  $\tau \cap \sigma = \emptyset$  nicht singular.

**Lemma 1:** Ableitungen von  $g(x, y) = \log|x - y|$  für  $x \neq y$  und  $\nu \in \mathbb{N}$  lauten:

$$\begin{aligned}\partial_x^{\nu} g(x, y) &= (-1)^{\nu-1} (\nu-1)! (x-y)^{-\nu} \\ \partial_y^{\nu} g(x, y) &= (\nu-1)! (x-y)^{-\nu}\end{aligned}$$

**Lemma 2:** Taylorentwicklung von  $g(x, y) = \log|x - y|$

Sei  $x_o := (a + b)/2$ . Für jedes  $k \in \mathbb{N}$  approximiert die Funktion

$$\tilde{g}(x, y) := \sum_{\nu=0}^{k-1} \frac{1}{\nu!} \partial_x^{\nu} g(x_o, y) (x - x_o)^{\nu}$$

den Kern  $g(x, y) = \log|x - y|$  mit dem Fehler

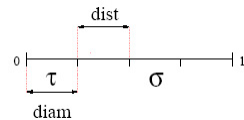
$$|g(x, y) - \tilde{g}(x, y)| \leq \left(1 + \frac{|x_o - a|}{|c - b|}\right) \left(1 + \frac{|c - b|}{|x_o - a|}\right)^{-k}$$

Problem:

Wenn  $c \rightarrow b$ , dann geht die Schätzung des Fehlers gegen unendlich.

⇒ Bedingung  $c < b$  ersetzen durch eine strengere Bedingung:

$$\text{diam}(\tau) \leq \text{dist}(\tau, \sigma)$$



Dann kann der approximierte Fehler geschrieben werden als:

$$|g(x, y) - \tilde{g}(x, y)| \leq \left(1 + \frac{1}{2}\right) \left(1 + \frac{2}{1}\right)^{-k} \leq 3^{-k+1}$$

(da  $2|x_o - a| \leq |c - b|$ )

⇒ gleichförmige Schranke für den approximierten Fehler, unabhängig vom Intervall, solange die zulässige Bedingung erfüllt ist.

Fehler nimmt exponential ab mit der Ordnung von  $k$ .

## 3. Niedrigrang-Approximation von Matrixblöcken

Sei  $\tau := \cup_{i \in t} \text{supp} \varphi_i$  und  $\sigma := \cup_{i \in s} \text{supp} \varphi_i$  die zugehörigen Bereiche zu  $t$  und  $s$  aus  $\mathcal{I} := \{0, \dots, n-1\}$ .

Wenn  $\tau \times \sigma$  zulässig ist gemäss  $\text{diam}(\tau) \leq \text{dist}(\tau, \sigma)$ , dann approximiere den Kern  $g$  in diesem Bereich durch Taylorentwicklung  $\tilde{g}$ :

$$G_{ij} := \int_0^1 \int_0^1 \varphi_i(x) g(x, y) \varphi_j(y) dy dx$$

$$\tilde{G}_{ij} := \int_0^1 \int_0^1 \varphi_i(x) \tilde{g}(x, y) \varphi_j(y) dy dx$$

wobei  $\tilde{g} = \sum_{\nu=0}^{k-1} g_{\nu}(x)h_{\nu}(y)$ , der durch die Taylorapproximation konstruierte degenerierte Kern ist und  $(i, j) \in t \times s$

Zwei Vorteile:

- Doppelintegral kann man aufsplitten:

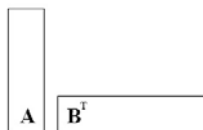
$$\begin{aligned} \tilde{G}_{ij} &= \int_0^1 \int_0^1 \varphi_i(x) \sum_{\nu=0}^{k-1} g_\nu(x) h_\nu(y) \varphi_i(y) dy dx \\ &= \sum_{\nu=0}^{k-1} \left( \int_0^1 \varphi_i(x) g_\nu(x) dx \right) \left( \int_0^1 \varphi_i(y) h_\nu(y) dy \right) \end{aligned}$$

- Untermatrix  $G|_{t \times s}$  kann faktorisiert werden:

$$G|_{t \times s} = AB^T, \quad A \in \mathbf{R}^{t \times \{0, \dots, k-1\}}, \quad B \in \mathbf{R}^{s \times \{0, \dots, k-1\}}$$

wobei

$$A_{i\nu} := \int_0^1 \varphi_i(x) g_\nu(x) dx, \quad B_{j\nu} := \int_0^1 \varphi_j(y) h_\nu(y) dy$$



**Definition: Zulässige Blocks**

Ein Block  $t \times s \subset \mathcal{I} \times \mathcal{I}$  von Indizes heisst zulässig, falls der zugehörige Bereich  $\tau \times \nu$  zulässig ist gemäss  $\text{diam}(\tau) \leq \text{dist}(\tau, \sigma)$ .

**Lemma 3: elementenweise Matrix Approximationsfehler**

Die Matrixelemente sind in den zulässigen Blocks  $t \times s$  beschränkt durch:

$$|G_{ij} - \tilde{G}_{ij}| \leq n^{-2} 3^{-k+1}$$

**Lemma 4: Matrix Approximationsfehler**

Der Approximationsfehler  $\|G - \tilde{G}\|_F$  für die Matrix  $\tilde{G}$  mit dem degenerierten Kern  $\tilde{g}$  in den zulässigen Blocks  $t_\nu \times s_\nu$  und  $g$  in den unzulässigen Blocks ist beschränkt durch:

$$\|G - \tilde{G}\|_F \leq n^{-2} 3^{-k+1} \quad \text{wobei} \quad \|M\|_F^2 := \sum M_{ij}^2 \quad (\text{Frobenius-Norm})$$

Frage: Wie wollen wir  $G$  unterteilen?

**4. Cluster Baum  $T_{\mathcal{I}}$**

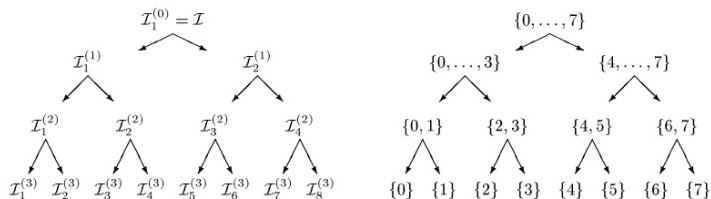
Die Kandidaten für  $t, s \subset \mathcal{I}$  für die Konstruktion der Partition werden in einem Cluster Baum gespeichert. ( $n = 2^p$ )

Wurzel des Baumes:  $\mathcal{I}_1^{(0)} := \{0, \dots, n-1\}$

Nachfahre von  $\mathcal{I}_1^{(0)}$ :  $\mathcal{I}_1^{(1)} := \{0, \dots, \frac{n}{2}-1\}$  und  $\mathcal{I}_2^{(1)} := \{\frac{n}{2}, \dots, n-1\}$

Nachfahre von  $\mathcal{I}_1^{(1)}$ :  $\mathcal{I}_1^{(2)} := \{0, \dots, \frac{n}{4}-1\}$  und  $\mathcal{I}_2^{(2)} := \{\frac{n}{4}, \dots, \frac{n}{2}-1\}$

Nachfahre von  $\mathcal{I}_2^{(1)}$ :  $\mathcal{I}_3^{(2)} := \{\frac{n}{2}, \dots, \frac{3n}{4}-1\}$  und  $\mathcal{I}_4^{(2)} := \{\frac{3n}{4}, \dots, n-1\}$   
usw.

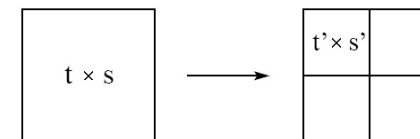


**5. Block Cluster Baum  $T_{\mathcal{I} \times \mathcal{I}}$**

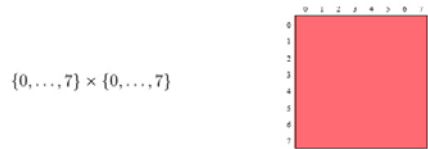
Anzahl der möglichen Blocks  $t \times s$  vom Baum ist  $(\#T_{\mathcal{I}})^2 = (2n-1)^2 = \mathcal{O}(n^2)$   
 $\Rightarrow$  dauert zu lange, um alle zu testen.

Eine Methode: Block Cluster Baum Algorithmus

1. **(Start)**  $\text{root}(T_{\mathcal{I} \times \mathcal{I}}) := \mathcal{I} \times \mathcal{I}$
2. **(Iterate)** Für jedes unzulässige Blatt  $t \times s$  definiere Nachfahre von  $t \times s$  als  $S(t \times s) := \{t' \times s' \mid t' \in S(t) \text{ und } s' \in S(s)\}$
3. **(Stop)** alle Blätter sind zulässig oder  $S(t) = \emptyset$  oder  $S(s) = \emptyset$



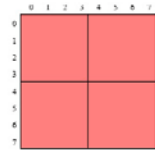
**Beispiel:** Block cluster Baum,  $p = 3$



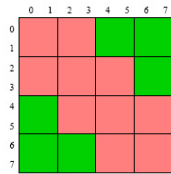
Die Wurzel ist nicht zulässig, da der zugehörige Bereich zum Index  $\{0, \dots, 7\}$  das Intervall  $[0, 1]$  ist und

$$\text{diam}([0, 1]) = 1 \not\leq 0 = \text{dist}([0, 1], [0, 1])$$

$$\begin{aligned} &\{0, 1, 2, 3\} \times \{0, 1, 2, 3\}, && \{0, 1, 2, 3\} \times \{4, 5, 6, 7\}, \\ &\{4, 5, 6, 7\} \times \{0, 1, 2, 3\}, && \{4, 5, 6, 7\} \times \{4, 5, 6, 7\}. \end{aligned}$$

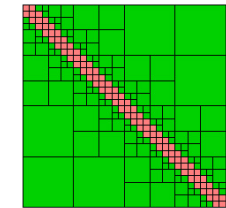
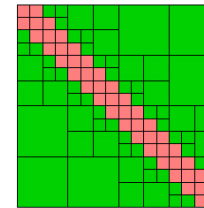
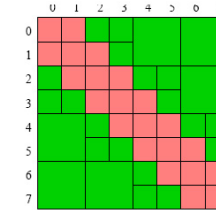


$$\begin{aligned} &\{0, 1\} \times \{0, 1\}, & \{0, 1\} \times \{2, 3\}, & \{0, 1\} \times \{4, 5\}, & \{0, 1\} \times \{6, 7\}, \\ &\{2, 3\} \times \{0, 1\}, & \{2, 3\} \times \{2, 3\}, & \{2, 3\} \times \{4, 5\}, & \{2, 3\} \times \{6, 7\}, \\ &\{4, 5\} \times \{0, 1\}, & \{4, 5\} \times \{2, 3\}, & \{4, 5\} \times \{4, 5\}, & \{4, 5\} \times \{6, 7\}, \\ &\{6, 7\} \times \{0, 1\}, & \{6, 7\} \times \{2, 3\}, & \{6, 7\} \times \{4, 5\}, & \{6, 7\} \times \{6, 7\}. \end{aligned}$$



$\{0, 1\} \times \{4, 5\}$  ist zulässig, da für den zugehörigen Bereich  $[0, \frac{1}{4}] \times [\frac{1}{2}, \frac{3}{4}]$  gilt:

$$\text{diam}\left(\left[0, \frac{1}{4}\right]\right) = \frac{1}{4} = \text{dist}\left(\left[0, \frac{1}{4}\right], \left[\frac{1}{2}, \frac{3}{4}\right]\right)$$



## 6. Speicherung von unzulässigen Blättern

unzulässige (aber kleine) Blocks  $t \times s \subset \mathcal{I} \times \mathcal{I}$ ,  $G$  werden ersetzt durch:

$$\tilde{G}_{ij} := \int_0^1 \int_0^1 \varphi_i(x) \log|x-y| \varphi_j(y) dy dx = \int_{i/n}^{(i+1)/n} \int_{j/n}^{(j+1)/n} \log|x-y| dy dx$$

**Definition:** fullmatrix Darstellung

Eine  $n \times m$  Matrix  $M$  wird in einer fullmatrix dargestellt, wenn die Einträge  $M_{ij}$  vom Typ `double` sind und in einem Array

$M_{11}, \dots, M_{n1}, M_{12}, \dots, M_{n2}, \dots, M_{1m}, \dots, M_{nm}$  (spaltenweise) der Länge  $nm$  gespeichert werden.

**Implementierung:** fullmatrix

```
typedef struct _fullmatrix fullmatrix;
typedef fullmatrix *pfullmatrix;

struct _fullmatrix {
    int rows;
    int cols;
    double* e;
};
```

## 7. Speicherung von zulässigen Blättern

zulässige Blocks  $t \times s \subset \mathcal{I} \times \mathcal{I}$  mit zugehörigen Bereichen  $[a, b] \times [c, d]$  und  $x_o := (a + b)/2$ , Untermatrix wird faktorisiert als:

$$\begin{aligned} \tilde{G}|_{t \times s} &:= AB^T, \\ A_{i\nu} &:= \int_{i/n}^{(i+1)/n} (x - x_o)^\nu dx, \\ B_{j\nu} &:= \begin{cases} (-1)^{\nu+1} \nu^{-1} \int_{j/n}^{(j+1)/n} (x_o - y)^{-\nu} dy & : \nu > 0 \\ \int_{j/n}^{(j+1)/n} \log|x_o - y| dy & : \nu = 0 \end{cases} \end{aligned}$$

**Definition:** rkmatrix Darstellung

Eine  $n \times m$  Matrix  $M$  mit Rang mind.  $k$  wird in rkmatrix gespeichert, falls  $M = AB^T$ , wobei  $A \in \mathbb{R}^{n \times k}$  und  $B \in \mathbb{R}^{m \times k}$  als Array gespeichert werden (spaltenweise).

### Implementierung: rkmatrix

```
typedef struct _rkmatrix rkmatrix;
typedef rkmatrix *prkmatrix;

struct _rkmatrix {
    int k;
    int rows;
    int cols;
    double* a;
    double* b;
};
```

## 8. Hierarchische Matrix Darstellung

### Definition: $\mathcal{H}$ -Matrix

Sei  $T_{\mathcal{I} \times \mathcal{I}}$  ein Block cluster Baum für die Indexmenge  $\mathcal{I}$ . Dann definieren wir die  $\mathcal{H}$ -Matrizen als

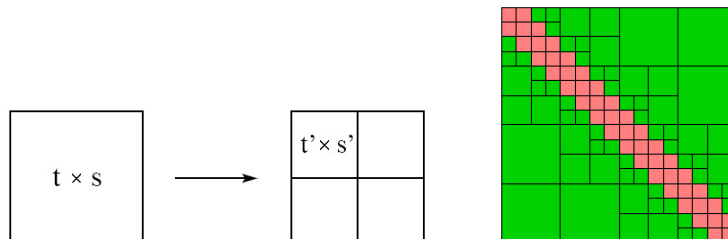
$$\mathcal{H}(T_{\mathcal{I} \times \mathcal{I}}, k) := \{M \in \mathbf{R}^{\mathcal{I} \times \mathcal{I}} \mid \text{rank}(M|_{t \times s}) \leq k \forall \text{ zul. Blätter } t \times s \text{ von } T_{\mathcal{I} \times \mathcal{I}}\}$$

### Definition: $\mathcal{H}$ -Matrix Darstellung

Sei  $T_{\mathcal{I} \times \mathcal{I}}$  ein Block cluster Baum für die Indexmenge  $\mathcal{I}$ . Eine Matrix  $M \in \mathcal{H}(T_{\mathcal{I} \times \mathcal{I}})$  ist in einer  $\mathcal{H}$ -Matrix Darstellung gespeichert, falls die Untermatrizen der unzulässigen Blätter in `fullmatrix` gespeichert und die Untermatrizen der zulässigen Blätter in `rkmatrix` gespeichert werden.

Jeder Block  $t \times s$  im Baum  $T_{\mathcal{I} \times \mathcal{I}}$  kann sein:

- ein Blatt - dann ist der zugehörige Matrixblock dargestellt als `fullmatrix` oder `rkmatrix`.
- kein Blatt - dann wird der Block  $t \times s$  in seine Söhne  $t' \times s'$  mit  $t' \in S(t)$  und  $s' \in S(s)$  aufgeteilt. D.h. dass der Matrixblock eine Supermatrix ist.



### Implementierung: supermatrix

```
typedef struct _supermatrix supermatrix;
typedef supermatrix *psupermatrix;

struct _supermatrix {
    int rows;
    int cols;
    int block_rows;
    int block_cols;
    prkmatrix r;
    pfullmatrix f;
    psupermatrix* s;
};
```

Eine Supermatrix besteht aus `block_rows`  $\times$  `block_cols` Untermatrizen. Die Größe der Matrix ist `rows`  $\times$  `cols`, d.h.  $M \in \mathbf{R}^{\text{rows} \times \text{cols}}$ .

Die Matrix  $M$  kann sein:

- eine `rkmatrix` - dann  $r \neq 0 \times 0$ ,  $f = 0 \times 0$  und  $s = 0 \times 0$ :  $r$  ist die `rkmatrix`-Darstellung von  $M$ .
- eine `fullmatrix` - dann  $f \neq 0 \times 0$ ,  $r = 0 \times 0$  und  $s = 0 \times 0$ :  $f$  ist die `fullmatrix`-Darstellung von  $M$ .
- eine `supermatrix` - dann  $s \neq 0 \times 0$ ,  $f = 0 \times 0$  und  $r = 0 \times 0$ : der Array  $s$  enthält Pointer auf die Untermatrizen  $M_{ij}$  von

$$M = \begin{bmatrix} M_{1,1} & \cdots & M_{1,\text{blockcols}} \\ \vdots & \ddots & \vdots \\ M_{\text{blockrows},1} & \cdots & M_{\text{blockrows},\text{blockcols}} \end{bmatrix}$$

In der Reihenfolge:

$$M_{1,1}, \dots, M_{\text{blockrows},1}, M_{1,2}, \dots, M_{\text{blockrows},2}, \dots \\ \dots, M_{1,\text{blockcols}}, \dots, M_{\text{blockrows},\text{blockcols}}$$